## Azaborolinyl-Komplexe, XVIII [1]

# $\eta^5$ -1,2-Azaborolinyl- $\eta^6$ -Aromaten-Sandwichkomplexe des Eisens

Azaborolinyl Complexes, XVIII [1]

 $\eta^5$ -1,2-Azaborolinyl- $\eta^6$ -arene Sandwich Complexes of Iron

Günter Schmid\*, Gerd Barbenheim und Roland Boese\*\*

Institut für Anorganische Chemie der Universität Essen, Universitätsstraße 5-7, D-4300 Essen 1

Z. Naturforsch. 40b, 787-793 (1985); eingegangen am 4. Februar 1985

1,2-Azaborolinyl, Arene, Sandwich Complexes, Iron

Bis(1-tert-butyl-2-methyl- $\eta^5$ -1,2-azaborolinyl)iron can be transformed into cationic (1-tert-butyl-2-methyl- $\eta^5$ -1,2-azaborolinyl)- $\eta^6$ -arene-iron sandwich complexes by the reaction with an excess of the arene (benzene (1), toluene (2), o-xylene (3), and mesitylene (4)), AlX<sub>3</sub> (X = Cl, Br) and aluminum at 80 °C with 60–70% yield. The sandwich cations are best isolated as PF<sub>6</sub><sup>-</sup> salts.  $^1$ H,  $^{11}$ B, and  $^{13}$ C NMR data indicate  $\eta^5$  coordinated 1,2-azaborolinyl ligands and  $\eta^6$  bound arenes, in agreement with X-ray structure investigations on 1 and 2, using FeCl<sub>4</sub><sup>2-</sup> and FeBr<sub>4</sub><sup>2-</sup> anions because of the better crystal quality compared with the PF<sub>6</sub><sup>-</sup> salts.

Die Störung des Cyclopentadienyl-Ligandsystems bei Ersatz zweier C-Atome durch die isoelektronische BN-Gruppe hat eine Reihe struktureller Konsequenzen zur Folge, die wir an zahlreichen 1,2-Azaborolinyl(Ab-)Übergangsmetall-Sandwich- und Halbsandwichkomplexen aufzeigen konnten [2-5]. Über die Veränderungen im chemischen Verhalten liegen erst spärliche Ergebnisse vor. So gelingt z.B. die Oxidation von Bis( $\eta^5$ -1,2-azaborolinyl)cobalt-Komplexen zu den Cobaltocenium-analogen Kationen [6] oder die oxidative und reduktive Spaltung der Eisen-Eisen-Bindung in [Ab(CO)<sub>2</sub>Fe]<sub>2</sub> [7, 8] in Analogie zu den entsprechenden Cp-Verbindungen. Die Chemie am koordinierten Azaborolinyl-Ring scheint sich nach ersten orientierenden Versuchen durch die Anwesenheit der Bor- und Stickstoffatome aber erheblich von der des fixierten Cp-Liganden zu unterscheiden. Die Elektronegativitätsunterschiede zwischen Bor und Stickstoff machen das Boratom nucleophilen Teilchen gegenüber sehr reaktiv, während der Stickstoff elektrophilen Agenzien zugänglich ist. So führt z.B. die Reaktion von Ab2TiCl2 mit Lithiumorganylen nicht zur Substitution der Chlorliganden, sondern zur Quaternisierung des Bors [9]. Wir berichten nachfolgend über Austauschreaktionen von Azaborolinylringen in Ab<sub>2</sub>Fe-Sandwichkomplexen gegen Aromaten, wie sie von Nesmeyanov et al. am Ferrocen bereits 1963 beschrieben wur-

Verlag der Zeitschrift für Naturforschung, D-7400 Tübingen 0340-5087/85/0600-0787/\$ 01.00/0

den [10], und die in unserem Fall zu den neuartigen 1,2-Azaborolinyl-aromat-eisen-Kationen führen.

### **Ergebnisse und Diskussion**

Präparatives

Läßt man Bis(1-tert-butyl-2-methyl- $\eta^5$ -1,2-azaborolinyl)eisen [2], in dem jeweiligen Aromaten (Ar) gelöst, mit AlCl<sub>3</sub> oder AlBr<sub>3</sub> in Gegenwart von Aluminiumpulver bei 80 °C ca. 3 h reagieren, so kann man das gebildete (1-tert-Butyl-2-methyl- $\eta^5$ -1,2-azaborolinyl)- $\eta^6$ -aromat-eisen-tetrachloroaluminat durch Zugabe von Wasser aus der organischen Phase entfernen und mittels NH<sub>4</sub>PF<sub>6</sub> als PF<sub>6</sub><sup>-</sup>-Salz in Ausbeuten von 60-70% ausfällen.

Über den Verbleib des abgelösten Azaborolinylliganden gibt das  $^{11}$ B-NMR-Spektrum der Reaktionslösung Auskunft. Ein Signal bei  $50\pm1$  ppm deutet darauf hin, daß der Ring in der 3-Position zum 1-tert-Butyl-2-methyl- $\Delta^4$ -1,2-azaborolin protoniert wird, da Protonierung und Alkylierung von AbLi allgemein zu  $\Delta^4$ -1,2-Azaborolinen mit  $^{11}$ B-Signalen bei 50 ppm führt [11]. Versuche, das Azaborolin zu isolieren, wurden von uns nicht unternommen.

<sup>\*</sup> Sonderdruckanforderungen an Prof. Dr. G. Schmid.

<sup>\*\*</sup> Röntgenstrukturanalyse.

	$1^{1/2}FeCl_4$	$\textbf{2}\cdot{}^{1/2}FeBr_4$
Raumgruppe	orthorhombisch,	orthorhombisch,
	P bcn	P bcn
Z	8	8
Zelldimensionen a (Å)	13,559(3)	13,556(4)
b (Å)	15,772(5)	15,917(4)
c (Å)	15,407(5)	17,019(5)
b (Å) c (Å) V (ų)	3295(2)	3672(2)
Kristalldimensionen (mm)	$0,14 \times 0,10 \times 0,10$	$0,18 \times 0,10 \times 0,06$
Dichte, ber. (g/cm <sup>3</sup> )	1,60	1,81
Absorptionskoeffizienten $\mu$ (cm <sup>-1</sup> )		
(Mo-K <sub>a</sub> , Graphit-Monochromator)	20,78	58,9
maximum/minimum-Transmission		
der empirischen Absorptionskorrektur	_	0,937/0,727
R <sub>Merg</sub> vor/nach Absorptionskorrektur	_	0,0465/0,0139
Anzahl der unabhängigen Intensitäten	4135	2407
davon als beobachtet behandelt $(F_0 \ge 3.5 \sigma(F))$	2321	1453
$2\theta$ : $\omega$ -scan Datensammlung bis $2\theta_{\text{max}}$ (°)	60	45
Maximale Restelektronendichte (e/ų)	0,4	0,9
R-Werte R	0,052	0,070
$R_{ m w}$	0,039	0,062
$R_{\rm w} = \sum (( \mathbf{F}_{\rm o} - \mathbf{F}_{\rm c} ) \cdot w^{-2}) / \sum (\mathbf{F}_{\rm o} \cdot w^{-2})$ $w = 1/\sigma^2(\mathbf{F}_{\rm o}) + \mathbf{G} \cdot \mathbf{F}_{\rm o}^2$		
	0.0000	0.0040
G	0,0000	0,0010

Tab. I. Kristall- und Strukturdaten von  $\mathbf{1} \cdot ^{1/2}$ FeCl<sub>4</sub> und  $\mathbf{2} \cdot ^{1/2}$ FeBr<sub>4</sub>.

Tab. II. Atomkoordinaten und anisotrope Temperaturparameter der Form  $\exp[-2\pi^2(\mathbf{U}_{11}h^2a^{*2}+\mathbf{U}_{22}k^2b^{*2}+\mathbf{U}_{33}l^2c^{*2}+2\mathbf{U}_{12}hka^*b^*+2\mathbf{U}_{13}hla^*c^*+2\mathbf{U}_{23}klb^*c^*)] \text{ bzw. isotrope Temperaturparameter der Form } \exp[-8\pi^2\mathbf{U}_{iso}(\sin\theta/\lambda)^2] \text{ für } \mathbf{1} \cdot {}^{1/2}\text{FeCl}_4.$  (Die Standardabweichungen in Klammern sind auf die jeweils letzte Stelle der Zahlenwerte bezogen.)

Atom	x/a	y/b	z/c	$U_{11}/U_{iso}$	U <sub>22</sub>	U <sub>33</sub>	U <sub>23</sub>	U <sub>13</sub>	$U_{12}$
Fe(1)	0,27496(4)	0,88616(3)	0,08592(3)	0,0431(3)	0,0488(3)	0,0430(3)	0,0046(3)	0,0016(3)	0,0050(3)
Fe(2)	0	0,73093(5)	0,25	0,0493(5)	0,0578(5)	0,0462(5)	0	-0,0002(4)	0
Cl(1)	0,07202(10)	0,64635(9)	0,14696(9)	0,0988(10)	0,1028(10)	0,0857(9)	-0.0335(8)	-0,0032(8)	0,0369(8)
Cl(2)	-0,10115(8)	0,81943(7)	0,16922(7)	/ /	0,0779(8)	0,0610(7)	0,0025(6)	-0,0044(6)	0,0167(6)
N(1)	0,1750(2)	0,9176(2)	-0,0090(2)	0,043(2)	0,039(2)	0,047(2)	0,001(2)	-0,000(2)	0,004(1)
B(2)	0,2351(3)	0,9964(3)	0,0071(3)	0,045(2)	0.041(2)	0,063(3)	0,005(2)	-0,001(3)	0,008(2)
C(3)	0,2200(3)	1,0088(3)	0,1030(3)	0,061(3)	0,052(3)	0,060(3)	-0.009(2)	-0,004(3)	0,008(3)
C(4)	0,1543(3)	0,9484(3)	0,1356(3)	0,055(3)	0,064(3)	0,056(3)	0,003(2)	0,015(2)	0,015(2)
C(5)	0,1288(3)	0,8936(2)	0,0688(2)	0,042(2)	0,053(2)	0,060(3)	0,003(2)	0,004(2)	-0,002(2)
C(6)	0,2989(3)	1,0487(3)	-0.0577(3)	0.074(3)	0.064(3)	0,076(3)	0,023(2)	-0,006(3)	-0.010(3)
C(7)	0,1419(3)	0,8770(3)	-0.0914(3)	0,069(3)	0,060(3)	0,054(3)	-0.006(2)	-0.014(2)	0,003(2)
C(8)	0,1317(4)	0,7816(3)	-0.0828(3)	0,103(4)	0,065(3)	0.087(4)	-0.021(3)	-0.015(3)	-0.019(3)
C(9)	0,2152(4)	0,8949(3)	-0,1631(3)	0,156(6)	0,090(4)	0,052(3)	-0.014(3)	0,007(3)	-0.017(4)
C(10)	0,0433(4)	0,9184(4)	-0,1121(4)	0,113(5)	0,129(5)	0,115(5)	-0.045(4)	-0.065(4)	0,048(4)
C(11)	0,4255(3)	0,8805(3)	0,0616(3)	0,051(2)					
C(12)	0,3811(3)	0.8077(3)	0,0283(3)	0.052(2)					
C(13)	0,3192(3)	0,7590(3)	0,0808(3)	0,055(2)					
C(14)	0,3018(3)	0,7832(3)	0,1665(3)	0,056(2)					
C(15)	0,3462(3)	0.8560(3)	0,1998(3)	0.054(2)					
C(16)	0,4081(3)	0,9047(3)	0,1473(3)	0,063(2)					
C(11')	0,4127(5)	0,8486(5)	0,0366(4)	0.056(3)					
C(12')	0,3528(5)	0,7775(4)	0.0471(4)	0.056(3)					
C(13')	0,3060(5)	0,7628(4)	0,1264(4)	0.064(3)					
C(14')	0.3191(5)	0.8194(4)	0,1950(4)	0.047(3)					
C(15')	0,3790(5)	0.8905(4)	0,1845(4)	0.057(3)					
C(16')	0,4258(5)	0,9051(4)	0,1052(3)	0.063(3)					
H(3)	0,2493(29)	1,0440(23)	0,1405(25)	0,066(14)					
H(4)	0,1247(28)	0,9426(24)	0,1953(28)	0.085(14)					
H(5)	0,0816(24)	0,8468(21)	0,0703(23)	0,073(12)					

Wird bei obiger Reaktion anstelle von Wasser Aceton verwendet, so können geringe Mengen der Komplexe in Form ihrer Tetrachloro- bzw. Tetrabromoferrate(II) isoliert werden. Die Entstehung der Halogenoferrate(II) ist allerdings unklar und wohl auf die teilweise Zersetzung der Sandwichkomplexe zurückzuführen. Allerdings lieferten die FeCl<sub>4</sub><sup>2</sup>- und FeBr<sub>4</sub><sup>2</sup>--Salze gegenüber den PF<sub>6</sub><sup>-</sup>-Derivaten die besseren Kristalle, weshalb sie für die Röntgenstrukturanalyse des Benzol- bzw. Toluol-komplexes verwendet wurden. Da die Tetrahalogenoferrate(II) Paramagnetismus bedingen, wurden alle NMR-Untersuchungen mit den leicht zugänglichen PF<sub>6</sub><sup>-</sup>-Salzen durchgeführt.

# Röntgenstrukturanalysen von $\mathbf{1} \cdot {}^{1/2}FeCl_4$ und $\mathbf{2} \cdot {}^{1/2}FeBr_4$

Kristalle von  $1 \cdot {}^{1/2}$ FeCl<sub>4</sub> und  $2 \cdot {}^{1/2}$ FeBr<sub>4</sub>, eingeschlossen in Glaskapillaren, wurden auf einem Syntex-R3-Vierkreisdiffraktometer bei Raumtemperatur vermessen. Die Datensammlung von  $1 \cdot {}^{1/2}$ FeCl<sub>4</sub> erfolgte mit einem 96 step-scan und anschließendem

Profilfitting nach einem erlernten Profil [12, 13], beide Strukturlösungen wurden mit Patterson-Methoden durchgeführt, die Strukturverfeinerungen nach der Block-Kaskaden-Methode und die Darstellungen mit Hilfe des SHELXTL-Programmsystems [14] auf einem NOVA-3/12-Rechner (Data General). Mit Ausnahme der Ring-Wasserstoffatome wurden alle Wasserstoff-Atomlagen berechnet und als starre Gruppen mit dem 1,2-fachen isotropen Temperaturfaktor des Uii-Tensors des zugehörigen Kohlenstoffatoms verfeinert (C-H-Abstand 0,96 Å, C-C-Hbzw. H-C-H-Winkel 120° bzw. 109°). Die Wasserstoffatome an den Ringen wurden aus einer Differenz-Fouriersynthese ermittelt und für 1·1/2FeCl<sub>4</sub> mit einem gemeinsamen, für 2·1/2FeBr<sub>4</sub> mit individuellen isotropen Temperaturfaktoren frei verfeinert. Der  $\pi$ -gebundene Benzolring von  $1 \cdot {}^{1/2}$ FeCl<sub>4</sub> ist fehlgeordnet, wobei beide Ringe um ca. 30° um ihre 6-zählige Achse verdreht sind. Sie wurden als starre Gruppen mit den Wasserstoffatomen und sich gegenseitig zu 1 ergänzenden Besetzungsfaktoren verfeinert, wobei der Besetzungsfaktor für C(11) bis C(16) 0,610(5) und für C(11') bis C(16') 0,390(5) betrug.

Tab. III. Atomkoordinaten und anisotrope Temperaturparameter der Form  $\exp[-2\pi^2(U_{11}h^2a^{*2} + U_{22}k^2b^{*2} + U_{33}l^2c^{*2} + 2U_{12}hka^*b^* + 2U_{13}hla^*c^* + 2U_{23}klb^*c^*)]$  bzw. isotrope Temperaturparameter der Form  $\exp[-8\pi^2U_{iso}(\sin\theta/\lambda)^2]$  für  $2\cdot^{1/2}$ FeBr<sub>4</sub>. (Die Standardabweichungen in Klammern sind auf die jeweils letzte Stelle der Zahlenwerte bezogen.)

Atom	x/a	y/b	z/c	$U_{11}/U_{\mathit{iso}}$	$U_{22}$	$U_{33}$	$U_{23}$	$U_{13}$	$U_{12}$
Fe(1)	0,2731(1)	0,8748(1)	0,0719(1)	0,045(1)	0,046(1)	0,042(1)	0,005(1)	0,002(1)	0,010(1)
Fe(2)	0	0,7315(2)	0,25	0,047(2)	0,044(2)	0,036(2)	0	-0,003(2)	0
Br(1)	0,1082(1)	0,8255(1)	0,3249(1)	0,063(1)	0,066(1)	0,045(1)	-0,002(1)	-0.007(1)	-0.019(1)
Br(2)	0,0771(1)	0,6422(1)	0,1513(1)	0,092(2)	0,073(1)	0,066(1)	-0.025(1)	-0,004(1)	0,028(1)
N(1)	0,1749(8)	0,9111(7)	-0.0123(6)	0,050(8)	0,032(7)	0.038(7)	-0,002(6)	0,002(6)	0,005(6)
B(2)	0,2285(11)	0,9889(10)	0,0093(9)	0.028(10)	0,040(11)	0.042(10)	0,014(8)	-0.009(8)	0,007(8)
C(3)	0,2109(10)	0,9915(9)	0,0959(8)	0,053(11)	0,063(11)	0.056(10)	-0.022(9)	0,002(8)	0,032(9)
C(4)	0,1479(12)	0,9278(11)	0,1167(10)	0,066(12)	0.062(13)	0.070(13)	0.030(10)	0,023(10)	0,011(10)
C(5)	0,1298(13)	0,8787(10)	0,0568(11)	0,071(13)	0.035(11)	0.077(13)	-0,006(11)	0,009(11)	0,000(9)
C(6)	0,2936(12)	1,0495(9)	-0.0431(8)	0,094(13)	0.049(11)	0.044(10)	0,021(8)	-0.020(9)	-0.009(10)
C(7)	0,1470(11)	0,08759(10	) -0.0918(10)	0,058(11)	0.040(11)	0.089(13)	-0.005(10)	-0.020(9)	0,016(9)
C(8)	0,1298(13)	0,7833(10)	-0.0892(10)	0,076(14)	0.067(13)	0.093(14)	0,009(12)	-0.025(11)	0,003(11)
	0,0494(15)	0,9172(13)			0,104(18)	0,134(19)	-0.027(16)	-0.041(14)	0,032(14)
	0,2271(15)	0,8937(11)	-0.1501(9)	0,134(18)	0.075(13)	0.075(13)	-0.044(11)	0,025(13)	-0.022(13)
C(11)	0,4182(7)	0,8607(8)	0.0327(5)	0.029(10)	0.109(16)	0.059(12)	0,007(11)	0,013(8)	0,020(11)
C(12)	0,3663(7)	0.7861(8)	0.0209(5)	0.088(14)	0,073(14)	0.037(10)	-0.001(10)	-0.003(10)	0,049(11)
C(13)	0,3142(7)	0,7497(8)	0.0829(5)	0,097(14)	0.023(9)	0.090(14)	0.006(10)	-0.031(12)	0,011(9)
C(14)	0,3141(7)	0,7879(8)	0.1567(5)	0,068(11)	0,054(11)	0,048(11)	0.006(9)	-0.003(9)	0.011(9)
	0.3660(7)	0,8626(8)	0.1684(5)	0,061(11)	0.065(12)	0,038(9)	-0.003(9)	-0.010(9)	0.002(9)
C(16)	0,4181(7)	0.8989(8)	0.1064(5)	0,032(9)	0,078(12)	0,051(10)	-0.010(10)	0.012(8)	0.024(9)
	0,3627(14)	0.9096(12)	0,2481(9)	0,091(14)	0,124(15)	0,046(10)	-0.031(12)	-0.011(11)	0,004(12)
	0,2384(68)	1,0247(55)	, , ,	0,022(17)	, ( - )	, , ,	, , , , ,	, ()	, (-)
	0,1287(64)	0,9182(56)	, , ,	0,022(17)					
	0,0958(80)	0,8350(67)		0,022(17)					

Tab. IV enthält ausgewählte Bindungsabstände und -winkel von  $1^{\cdot 1/2}$ FeCl<sub>4</sub> und  $2^{\cdot 1/2}$ FeBr<sub>4</sub>, in den Abbn. 1 und 2 sind die Strukturen der Kationen und Anionen beider Komplexe dargestellt.

Die diamagnetischen Kationen 1 und 2 enthalten beide  $\eta^6$ -gebundene 1,2-Azaborolinyl- und  $\eta^6$ -gebundene Aromatenringe, in Übereinstimmung mit der 18-Elektronenkonfiguration des Eisens. Wie Tab. IV zeigt, stimmen die Bindungsabstände und -winkel in beiden Verbindungen weitgehend über-

ein. Der Vergleich der Abstände und Winkel in den Azaborolinylringen sowie der Ring-Eisen-Abstände mit den entsprechenden Daten von Ab<sub>2</sub>Fe-Sandwichkomplexen [2] zeigt ferner, daß sich bei Ersatz eines Azaborolinylringes durch Benzol (1) oder Toluol (2) keine signifikanten Unterschiede in den Ab-Fe-Wechselwirkungen ergeben.

Die prochiralen Eigenschaften der 1,2-Azaborolinylringe bedingen für **1–4** die Bildung von Enantiomerenpaaren, die sich in der Verwendung der ver-

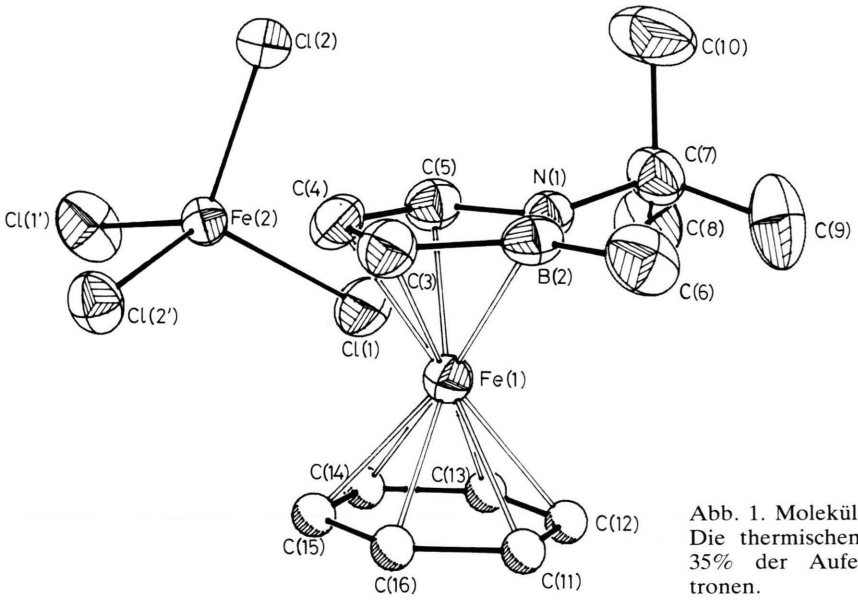


Abb. 1. Molekülstruktur von 1 mit dem Anion FeCl<sub>4</sub><sup>2-</sup>. Die thermischen Schwingungsellipsoide umschreiben 35% der Aufenthaltswahrscheinlichkeit der Elektronen.

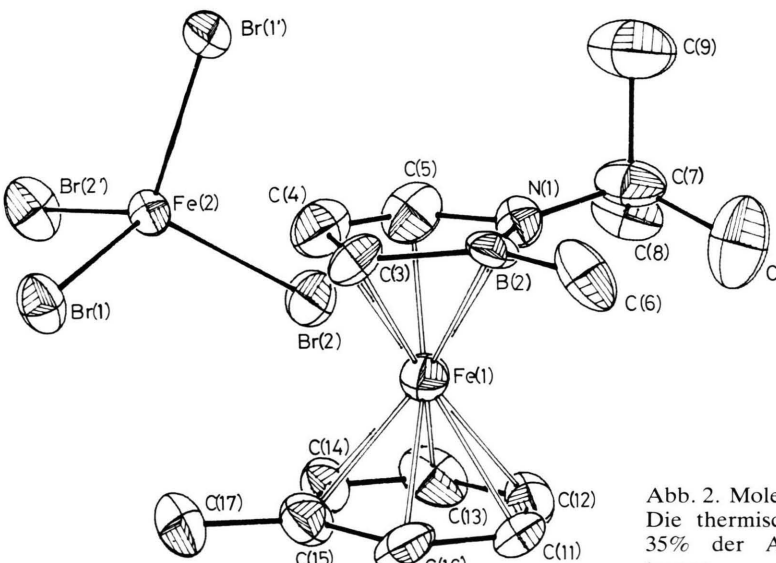


Abb. 2. Molekülstruktur von **2** mit dem Anion FeBr<sub>4</sub><sup>2-</sup>. Die thermischen Schwingungsellipsoide umschreiben 35% der Aufenthaltswahrscheinlichkeit der Elektronen.

Tab. IV. Ausgewählte Bindungsabstände (Å) und -winkel (°) von  $1 \cdot {}^{1/2}$ FeCl<sub>4</sub> und  $2 \cdot {}^{1/2}$ FeBr<sub>4</sub>.

	$1\cdot {}^{1/2}FeCl_4$		2 · 1/2 FeBr <sub>4</sub>
	Abstände		Abstände
Kation			
Fe(1)-N(1)	2,055(7)		2,04(1)
Fe(1) - B(2)	2,188(8)		2,19(2)
Fe(1)-C(3)	2,089(8)		2,08(2)
Fe(1)-C(4)	2,056(8)		2,04(2)
Fe(1) - C(5)	2,003(7)		1,96(2)
Fe(1)-C(11)	2,078(7)		2,09(1)
Fe(1)-C(12)	2,095(7)		2,08(1)
Fe(1)-C(13)	2,095(7)		2,08(1)
Fe(1)-C(14)	2,076(7)		2,07(1)
Fe(1)-C(15)	2,058(7)		2,08(1)
Fe(1)-C(16)	2,059(7)		2,09(1)
B(2)-N(1)	1,507(7)		1,48(2)
B(2)-C(3)	1,505(8)		1,49(2)
C(3)-C(4)	1,396(8)		1,37(2)
C(4)-C(5)	1,388(7)		1,31(3)
C(5)-N(1)	1,406(6)		1,42(2)
B(2) - C(6)	1,558(8)		1,58(2)
N(1)-C(7)	1,491(7)		1,51(2)
Anion			
Fe(2)-Cl(1)	2,292(7)	Fe(2)-Br(1)	2,45(1)
Fe(2)-Cl(2)	2,319(7)	Fe(2)-Br(2)	2,44(1)
	Winkel		Winkel
C(5)-N(1)-B(2)	108,8(3)		108(1)
N(1)-B(2)-C(3)			101(1)
B(2)-C(3)-C(4)			110(1)
C(3)-C(4)-C(5)			111(1)
C(4)-C(5)-N(1)			110(1)
C(3)-B(2)-C(6)			129(1)
N(1)-B(2)-C(6)			130(1)
B(2)-N(1)-C(7)			131(1)

schiedenen Ringseiten der Ab-Ringe bei der Koordination an die Fe-Atome unterscheiden. Aus den Kristallstrukturen kann das Vorliegen beider Enantiomeren gut erkannt werden.

## Spektroskopische Untersuchungen

Die <sup>11</sup>B-NMR-Signale der Komplexe **1** · PF<sub>6</sub> **-4** · PF<sub>6</sub> liegen zwischen 18,1 und 19,5 ppm und belegen damit praktisch gleiche Bindungsverhältnisse für die Boratome. Gegenüber dem Sandwichkomplex Ab<sub>2</sub>Fe ist eine Tieffeldverschiebung von 6–7 ppm eingetreten. Man kann daraus einen im Vergleich zu dem Azaborolinylring verstärkten Akzeptorcharakter der Aromaten ableiten, die den Grad der Metall-Bor-Rückbindung vermindert.

In den <sup>1</sup>H-NMR-Spektren sind die Signale der Azaborolinylprotonen durch die jeweilige Kopplung

mit den beiden anderen Protonen in Doppeldubletts aufgespalten. Die Zuordnungen der Signale zu H-3, H-4 und H-5 erfolgten in Anlehnung an frühere, auf Entkopplungsexperimenten beruhenden, Ergebnisse [2, 4, 15]. Während für die Benzolprotonen in  $1 \cdot PF_6$  nur ein Singulett beobachtet wird, liefert das Spektrum des Toluolkomplexes  $2 \cdot PF_6$  für die Aromatenprotonen 4 Multipletts mit insgesamt 11 Linien, die ihrerseits weiter in Tripletts und Dubletts aufgespalten sind und von uns noch nicht analysiert werden konnten. Im o-Xylol-Komplex  $3 \cdot PF_6$  werden 2 Multipletts, im Mesitylen-Komplex  $4 \cdot PF_6$  wie in der Benzolverbindung nur 1 Singulett für die Aromatenprotonen beobachtet.

Entsprechend einfach bzw. komplex sind die <sup>13</sup>C-NMR-Spektren im Bereich aromatischer C-Atome. Während in  $1 \cdot PF_6$  und  $4 \cdot PF_6$  im protonenentkoppelten Spektrum nur je 1 Signal beobachtet wird, treten für  $2 \cdot PF_6$  5 und für  $3 \cdot PF_6$  4 Singuletts auf. Von den Azaborolinyl-Ring-Kohlenstoffatomen verursachen C-4 und C-5 jeweils scharfe Signale, während das Bor-benachbarte C-3-Atom nur im Spektrum von  $1 \cdot PF_6$  noch als breites Signal zu erkennen ist, dagegen sind in den Spektren der übrigen Verbindungen die C-3-Signale wegen der Kohlenstoff-Bor-Kopplung nicht mehr zu beobachten. Gleiches gilt für die Bor-benachbarten C-Atome C-6 der Methylgruppen.

#### **Experimenteller Teil**

Alle Versuche und Messungen wurden in einer Stickstoffatmosphäre und, soweit nicht Wasser selbst verwendet wurde, in absolutierten Lösungsmitteln ausgeführt.

Kernresonanzspektren: Varian XL 200. – Massenspektren: MAT 312. – Analysen: Analytisches Laboratorium des Fachbereichs Chemie der Universität Essen.

Die Synthese für alle 4 Komplexe  $1 \cdot PF_6 - 4 \cdot PF_6$  gelingt nach dem gleichen Prinzip entsprechend der nachfolgend wiedergegebenen Vorschrift für den Benzolkomplex, indem man anstelle des Benzols den jeweiligen Aromaten im Überschuß einsetzt.

(1-tert-Butyl-2-methyl- $\eta^5$ -1,2-azaborolinyl)- $\eta^6$ -benzol-eisenhexafluorophosphat ( $\mathbf{1} \cdot PF_6$ )

Eine Lösung von 520 mg Bis(1-*tert*-butyl-2-methyl- $\eta^5$ -1,2-azaborolinyl)eisen [2] (1,58 mmol) in 35 ml Benzol wird unter Rühren 3 h mit 770 mg AlCl<sub>3</sub>

(5,77 mmol) und 50 mg Al-Pulver (1,85 mmol) zum Sieden erhitzt. Dabei ändert sich die Farbe der Lösung von orangerot über dunkelgrün nach rotbraun. Man läßt auf Raumtemperatur abkühlen, versetzt mit 20 ml H<sub>2</sub>O, durchmischt die beiden Phasen einige Minuten kräftig und frittet vom Niederschlag ab. Die gelbliche Benzolphase wird abgetrennt und verworfen. Die wäßrige Phase versetzt man mit einer Lösung von 300 mg NH<sub>4</sub>PF<sub>6</sub> (1,8 mmol) in 5 ml H<sub>2</sub>O. Den ausfallenden Niederschlag wäscht man mehrmals mit Wasser, löst in Aceton und fällt mit Ether. Ausbeute: 455 mg (69,4%).

<sup>1</sup>H-NMR (D<sub>6</sub>-Aceton, TMS):  $\delta = 0.93$  (s, B-CH<sub>3</sub>); 1,37 (s, C(CH<sub>3</sub>)<sub>3</sub>); 4,05 (dd, H-3,  $J_{3,4} = 5$  Hz,  $J_{3,5} = 2$  Hz); 5,12 (dd, H-4,  $J_{4,3} = 5$  Hz,  $J_{4,5} = 2$  Hz); 6,49 (s, Benzol); 6,91 (dd, H-5,  $J_{5,4} = 2$  Hz,  $J_{5,3} = 2$  Hz). – <sup>11</sup>B-NMR (D<sub>6</sub>-Aceton, BF<sub>3</sub>·OEt<sub>2</sub>):  $\delta = 19.0.$  – <sup>13</sup>C-{<sup>1</sup>H}-NMR (D<sub>6</sub>-Aceton, TMS):  $\delta = \sim 2.3$  (breit, B-CH<sub>3</sub>); 30,18 (s, C(CH<sub>3</sub>)<sub>3</sub>); 58,96 (s, C(CH<sub>3</sub>)<sub>3</sub>); 71,5 (breit, C-3); 79,06 (s, C-4); 84,43 (s, C-5); 88,69 (s, Benzol). – <sup>31</sup>P-NMR (D<sub>6</sub>-Aceton, H<sub>3</sub>PO<sub>4</sub>):  $\delta = 142,60$  (sept., PF<sub>6</sub>).

 $C_{14}H_{21}BF_6FeNP$  (414,95)

Ber. C 40,52 H 5,10 N 3,38, Gef. C 39,73 H 5,30 N 2,96.

Kristalle der Tetrachloro- bzw. Tetrabromoferrate(II) 1 · 1/2 FeCl<sub>4</sub> und 2 · 1/2 FeBr<sub>4</sub> für die Röntgenstrukturanalyse wurden auf folgende Weise erhalten: Man verfuhr zunächst wie im vorstehenden Versuch beschrieben, entfernte aber nach erfolgter Reaktion überschüssiges Benzol im Vakuum. Es hinterblieb ein Öl, welches mit Aceton extrahiert wurde. Die rotbraune Acetonlösung wurde mit der äquivalenten Menge NH<sub>4</sub>PF<sub>6</sub>, in 5 ml Aceton gelöst, versetzt. Der gebildete weiße Niederschlag wurde abgetrennt und das Filtrat vom Lösungsmittel befreit. Aus dem hinterbliebenen orangeroten Öl schieden sich langsam wenige Kristalle von 1·1/2FeCl<sub>4</sub> ab, während das Hauptprodukt, 1 · PF<sub>6</sub>, ölig blieb. Das Abtrennen der Kristalle gelang durch kurze Behandlung mit Aceton, da sich das Öl besser löste als die Kristalle.

Auf entsprechende Art erhielt man  $2 \cdot {}^{1/2}$ FeBr<sub>4</sub>. Anstelle von AlCl<sub>3</sub> wurde AlBr<sub>3</sub> verwendet.

(1-tert-Butyl-2-methyl- $\eta^5$ -1,2-azaborolinyl)- $\eta^6$ -toluol-eisenhexafluorophosphat (**2** · PF<sub>6</sub>)

Ausbeute 65%. <sup>1</sup>H-NMR (D<sub>6</sub>-Aceton, TMS):  $\delta$  = 0,90 (s, B-CH<sub>3</sub>); 1,35 (s, C(CH<sub>3</sub>)<sub>3</sub>); 2,57 (s, CH<sub>3</sub> von Toluol); 3,95 (dd, H-3,  $J_{3,4}$  = 5 Hz,  $J_{3,5}$  = 2 Hz); 5,07 (dd, H-4,  $J_{4,3}$  = 5 Hz,  $J_{4,5}$  = 2 Hz); 6,08-6,74 (4 m, Toluol-Ring); 6,83 (dd, H-5,  $J_{5,4}$  = 2 Hz,  $J_{5,3}$  = 2 Hz). - <sup>11</sup>B-NMR (D<sub>6</sub>-Aceton, BF<sub>3</sub>·OEt<sub>2</sub>):  $\delta$  = 18,7. - <sup>13</sup>C{<sup>1</sup>H}-NMR (D<sub>6</sub>-Aceton, TMS):  $\delta$  = 20,68

(s, CH<sub>3</sub> von Toluol); 30,19 (s, C( $\underline{C}$ H<sub>3</sub>)<sub>3</sub>); 58,84 (s,  $\underline{C}$ (CH<sub>3</sub>)<sub>3</sub>); 79,95 (s, C-4); 84,24 (s, C-5), 87,14; 87,54; 88,75; 88,83; 89,02; 103,91 (5 s, Toluol-Ring). Die Signale für C-3 und B-CH<sub>3</sub> sind wegen der Nachbarschaft zum Boratom nicht zu erkennen. – <sup>31</sup>P-NMR (D<sub>6</sub>-Aceton, H<sub>3</sub>PO<sub>4</sub>):  $\delta = -142,53$  (sept., PF<sub>6</sub>).

C<sub>15</sub>H<sub>23</sub>BF<sub>6</sub>FeNP (428,99)

Ber. C 42,00 H 5,40 N 3,27, Gef. C 42,30 H 5,22 N 3,09.

(1-tert-Butyl-2-methyl- $\eta^5$ -1,2-azaborolinyl)- $\eta^6$ -o-xylol-eisenhexafluorophosphat (3 · PF<sub>6</sub>)

Ausbeute 65%. <sup>1</sup>H-NMR (D<sub>6</sub>-Aceton, TMS):  $\delta$  = 0,89 (s, B-CH<sub>3</sub>); 1,34 (s, C(CH<sub>3</sub>)<sub>3</sub>); 2,40 (s, CH<sub>3</sub> von o-Xylol); 2,53 (s, CH<sub>3</sub> von o-Xylol); 3,79 (d\*, H-3,  $J_{3,4}$  = 5 Hz); 4,94 (d\*, H-4,  $J_{4,3}$  = 5 Hz); 6,16 (2 m, o-Xylol-Ring); 6,49 (br, s, o-Xylol-Ring); 6,74 (br, s\*, H-5). - <sup>11</sup>B-NMR (D<sub>6</sub>-Aceton, BF<sub>3</sub>·OEt<sub>2</sub>):  $\delta$  = 18,1. - <sup>13</sup>C{<sup>1</sup>H}-NMR (D<sub>2</sub>O, TMS):  $\delta$  = 18,00 (s, CH<sub>3</sub> von o-Xylol); 29,27 (s, C(CH<sub>3</sub>)<sub>3</sub>); 57,17 (s, C(CH<sub>3</sub>)<sub>3</sub>); 79,67 (s, C-4); 82,31 (s, C-5); 86,16; 86,30; 87,03; 89,14; 102,41 (5 s, o-Xylol-Ring). Die Signale für C-3 und B – CH<sub>3</sub> sind wegen der Nachbarschaft zum Boratom nicht zu erkennen.

C<sub>16</sub>H<sub>25</sub>BF<sub>6</sub>FeNP (443,01)

Ber. C 43,38 H 5,69 N 3,16, Gef. C 43,77 H 5,38 N 3,29.

(1-tert-Butyl-2-methyl- $\eta^{5}$ -1,2-azaborolinyl)- $\eta^{6}$ -mesitylen-eisenhexafluorophosphat ( $\mathbf{4} \cdot PF_{6}$ )

Ausbeute 67%. <sup>1</sup>H-NMR (D<sub>6</sub>-Aceton, TMS):  $\delta$  = 0,83 (s, B-CH<sub>3</sub>); 1,34 (s, C(CH<sub>3</sub>)<sub>3</sub>); 2,49 (s, CH<sub>3</sub> von Mesitylen); 3,79 (dd, H-3,  $J_{3,4}$  = 5 Hz,  $J_{3,5}$  = 2 Hz); 5,02 (dd, H-4,  $J_{4,3}$  = 5 Hz,  $J_{4,5}$  = 2 Hz); 6,26 (s, von Mesitylen-Ring); 6,66 (dd, H-5,  $J_{5,4}$  = 2 Hz,  $J_{5,3}$  = 2 Hz). – <sup>11</sup>B-NMR (D<sub>6</sub>-Aceton, BF<sub>3</sub>·OEt<sub>2</sub>):  $\delta$  = 19,5. – <sup>13</sup>C{<sup>1</sup>H}-NMR (D<sub>6</sub>-Aceton, TMS):  $\delta$  = 20,21 (s, CH<sub>3</sub> von Mesitylen); 30,49 (s, C(CH<sub>3</sub>)<sub>3</sub>); 58,41 (s, C(CH<sub>3</sub>)<sub>3</sub>); 79,63 (s, C-4); 84,79 (s, C-5); 87,94; 101,84 (2 s, Mesitylen-Ring). Die Signale für C-3 und B-CH<sub>3</sub> sind wegen der Nachbarschaft zum Boratom nicht zu erkennen.

 $C_{17}H_{27}BF_6FeNP$  (457,04)

Ber. C 44,68 H 5,95 N 3,06, Gef. C 42,40 H 5,87 N 3,05.

Beim Fonds der Chemischen Industrie haben wir uns für die finanzielle Unterstützung zu bedanken.

<sup>\*</sup> Es ist davon auszugehen, daß diese Dubletts bzw. das breite Singulett wie in den anderen Fällen Doppeldubletts darstellen, wegen der etwas geringeren Qualität des Spektrums aber nicht aufgelöst sind.

- [1] XVII. Mitteilung: G. Schmid, D. Kampmann, W. Meyer, R. Boese, P. Paetzold und K. Delpy, Chem. Ber., im Druck.
- [2] G. Schmid, S. Amirkhalili, U. Höhner, D. Kampmann und R. Boese, Chem. Ber. 115, 3830 (1982).
- [3] G. Schmid und R. Boese, Z. Naturforsch. **38b**, 485 (1983).
- [4] G. Schmid, D. Kampmann, U. Höhner, D. Bläser und R. Boese, Chem. Ber. 117, 1052 (1984).
- [5] G. Schmid, Comments on Inorg. Chem., im Druck.
- [6] G. Schmid, U. Höhner, D. Kampmann, D. Zaika und R. Boese, J. Organomet. Chem. 256, 225 (1983).
- [7] J. Schulze, R. Boese und G. Schmid, Chem. Ber. 113, 2348 (1980).

- [8] J. Schulze und G. Schmid, J. Organomet. Chem. 193, 83 (1980).
- [9] W. Meyer, Diplomarbeit, Universität Essen 1985.
- [10] A. N. Nesmeyanov, N. A. Vol'kenau und I. N. Bolesova, Tetrahedron Lett. **25**, 1725 (1963).
- [11] D. Zaika, Diplomarbeit, Universität Essen 1985.
- [12] W. Clegg, Acta Crystallogr. 37 A, 22 (1981).
- [13] R. Diamond, Acta Crystallogr. 25 A, 43 (1969).
- [14] G. M. Sheldrick, SHELXTL, ein komplettes Programm zum Lösen, Verfeinern und Darstellen von Kristallstrukturen aus Beugungsdaten, Universität Göttingen 1981.
- [15] G. Schmid, U. Höhner, D. Kampmann, F. Schmidt, D. Bläser und R. Boese, Chem. Ber. 117, 672 (1984).